

01; 02

© 1992

К РАСЧЕТУ ПОТЕНЦИАЛА ВЗАИМОДЕЙСТВИЯ $K^+ \rightarrow V$

В.В. Е в с т и ф е е в, И.В. И в а н о в

Методом молекулярных орбиталей, построенных в виде линейной комбинации атомных орбиталей (МОЛКАО) [1, 2], был восстановлен потенциал ион-атомного взаимодействия калий-ванадий. Гамильтониан системы, состоящий из M -ядер и N -электронов, можно записать в виде (в атомных единицах):

$$\hat{H} = -\frac{1}{2} \sum_{i=1}^M \nabla^2(i) + \frac{1}{2} \sum_{i \neq j} \frac{1}{r_{ij}} - \frac{1}{2} \sum_{n=1}^M \frac{1}{m_n} \nabla^2(n) - \sum_{n=1}^M \sum_{i=1}^N \frac{z_n}{r_{in}} + \\ + \frac{1}{2} \sum_{n=1}^M \sum_{n'=1}^M \frac{z_n z_{n'}}{r_{nn'}}, \quad (1)$$

где Z_n – заряды ядер.

Адиабатическое приближение позволяет разделить ядерные и электронные координаты:

$$\psi = \psi(r, q) \cdot x(q), \quad (2)$$

где q – обобщенные координаты ядер.

Затем с помощью одноэлектронного приближения находим полную электронную волновую функцию в виде произведения одноэлектронных волновых функций – орбиталей. Требование антисимметрии полной волновой функции приводит к замене произведения одноэлектронных волновых функций на определитель (определитель Слэттера [3]), в котором каждая строка состоит из произведения всех одноэлектронных волновых функций. Каждая из одноэлектронных волновых функций будет удовлетворять уравнению

$$\left[-\frac{1}{2} \nabla^2(i) + \sum_{n=1}^M \frac{z_n}{r_{in}} + \sum_{j=1}^M \frac{1}{r_{ij}} \right] \varphi_i = E_i \varphi_i, \quad (3)$$

где \bar{r}_{ij} – усреднение по всем положениям j -го электрона.

Следующее предположение состоит в том, что пространственные орбитали φ_i строятся в виде линейной комбинации атомных орбиталей x_μ (ЛКАО):

$$\varphi_i = \sum_\mu C_{mi} x_\mu. \quad (4)$$

Таблица 1. Ваэн $S^{3\pi}_{1-3G}$, использованный в расчетах

Атом	Номер	Тип	Sca/ρ - фактор	Атомные орбитали		S -коэффициенты	Гауссова функции	P -коэффициенты	D -коэффициенты
				Экспоненты					
Калий	1 1 S	18.61000		$7.7151037D+02$ $1.4053158D+02$ $3.8033329D+01$ $5.2402040D+01$ $1.2177107D+01$ $3.9603732D+00$		$1.5432897D-01$ $5.3532814D-01$ $4.4463454D-01$ $-9.9967229D-02$ $3.9951283D-01$ $7.0011547D-01$			
	2-5 2 $5P$	7.26000		$3.4481219D+00$ $1.0517849D+00$ $4.0581283D-01$ $5.0398225D-01$		$-2.2776400D-01$ $2.1754400D-01$ $9.1667700D-01$ $-3.0884412D-01$		$4.9515100D-03$ $5.7776600D-01$ $4.8464600D-01$ $-1.2154686D-01$	
	6-9 3 $3P^*$	2.75000		$1.8600115D-01$ $8.2140067D-02$ $1.1207470D+03$		$1.9606412D-02$ $1.1310344D+00$ $1.5432897D-01$		$5.7152276D-01$ $5.4989495D-01$	
	10-13 4 $5P$	1.43000		$2.0414546D+02$ $5.5249728D+01$ $8.3601414D+01$ $1.9427171D+01$ $6.3183189D+00$		$5.3532814D-01$ $4.4463454D-01$ $-9.9967229D-02$ $3.9951283D-01$ $7.0011547D-01$		$1.5591628D-01$ $6.0768372D-01$ $3.9195739D-01$ $1.0587604D-02$	
	14 1 S	22.43000		$6.5035139D+00$ $1.8144637D+00$ $7.1016880D-01$ $4.6748786D+00$		$-2.1962037D-01$ $2.2559543D-01$ $9.0039843D-01$		$5.9516701D-01$ $4.6200101D-01$	$1.68665961D-01$ $5.8479848D-01$ $4.0567795D-01$
	15-18 2 $5P$	9.17000		$1.4658151D+00$ $5.7097111D-01$ $3.5436543D-01$ $6.9502782D-02$ $3.4301479D-02$					
	19-22 3 $5P$	3.67000		$3.4301479D-02$ $6.4269430D-01$ $9.8264619D-02$ $4.8315434D-02$					
	23-27 3 D	2.99000							
	28 4 S	1.25000							
	29-31 4 P	1.15000							

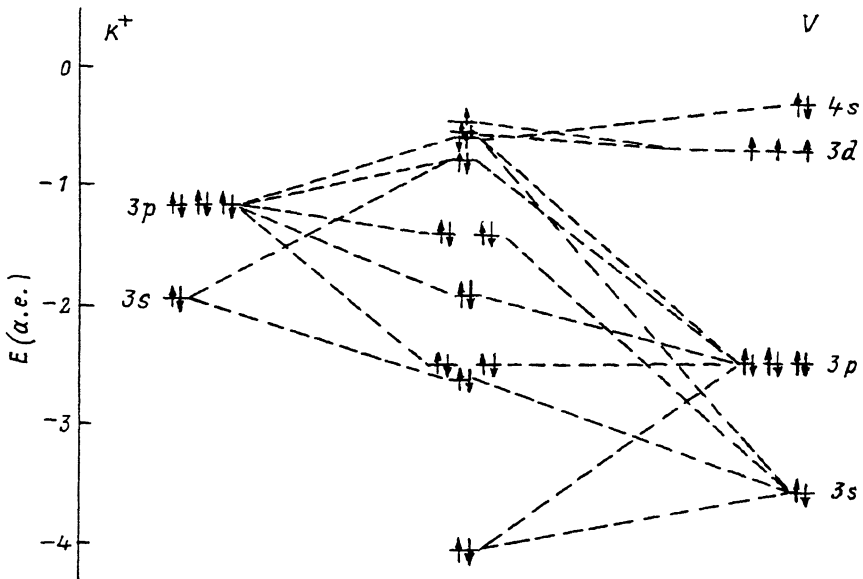


Рис. 1. Диаграмма электрических уровней K^+ и V и квазимолекулы K^+V для $r = 1 \text{ \AA}$.

Таблица 2.

Рассчитанные значения полной энергии и погрешности самосогласования системы K^+ для различных межатомных расстояний

$r, \text{\AA}$	$E, \text{a.e.}$	$\Delta E, \text{a.e.} \times 10^{-6}$
0.5	-1484.640166	6.59
1.0	-1521.487188	7.11
2.0	-1525.874441	8.05
3.0	-1526.068377	5.22

После подстановки (4) в (3) получается система обыкновенных алгебраических уравнений, решая которую можно определить коэффициент C_{Mi} , а следовательно, и полную волновую функцию многоэлектронной системы. Зная полную волновую функцию, можно вычислить все величины многоэлектронной системы, в частности, полную энергию. Тогда энергию ион-атомного взаимодействия можно вычислить следующим образом:

$$E_{int}(r) = E_{AB}(r) - E_A - E_B, \quad (5)$$

где $E_{AB}(r)$ – полная энергия двухатомной молекулы, E_A и E_B – полные энергии атомов (ионов), составляющих молекулу.

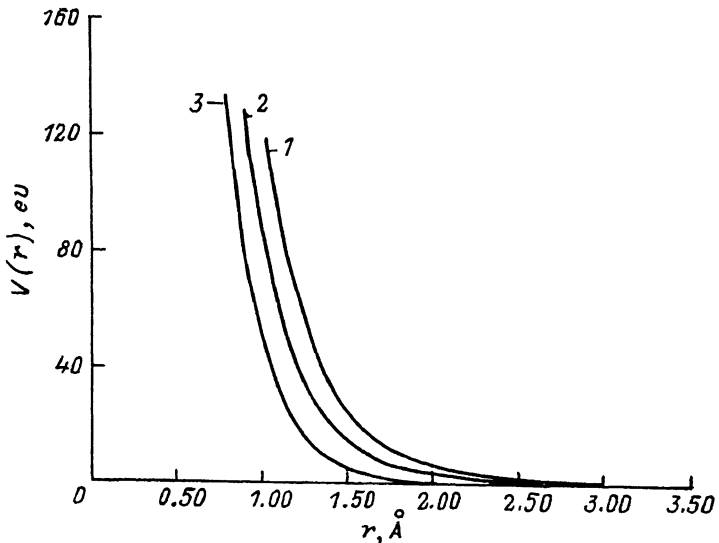


Рис. 2. Потенциал взаимодействия системы $K^+ - V$ как функция расстояния: 1 – потенциал, восстановленный методом МОЛКАО, 2 – потенциал Зиглера–Бирсака–Литтмарка, 3 – потенциал Борна–Майера.

Вычисления полной энергии производили по программе *MONSTER GAUSS -81* [4]. В качестве атомных орбиталей выбирались атомные волновые функции слэтеровского типа, аппроксимированные суммой 3-х гауссовых экспонент (внутренний базис программы *MONSTERGAUSS -81-STO-36*):

$$\chi_{\mu} = \sum_{i=1}^3 A_i e^{-\alpha_i r^2}. \quad (6)$$

Коэффициенты A_i и α_i (см. табл. 1) протабулированы для элементов 1–3 периодов в [5]. Результаты вычислений полной энергии и погрешность самосогласования приведены в табл. 2. На рис. 1 приведены рассчитанные диаграммы верхних запятых энергетических уровней иона K^+ и атома V , а также энергетические уровни квазимолекулы $K^+ V$ для межатомного расстояния $r = 1 \text{ \AA}$. Восстановленный потенциал аппроксимировали двухэкспоненциальной функцией в виде

$$V_S(r) = \frac{1}{r} (2117.2 \exp(-3.217r) + 171.2 \exp(-1.4232)). \quad (7)$$

Ниже для сравнения приведены дальнодействующая часть потенциала Зиглера–Бирсака–Литтмарка [6], состоящая также из двух экс-

понент, которые дают вклад в потенциальную функцию на больших расстояниях ($r \geq 1 \text{ \AA}$)

$$V_{ZBL}(r) = \frac{1}{2} (1670.4 \exp(-3.441r) + 167.9 \exp(-1.722r)) \quad (8)$$

и потенциал Борна-Майера [7]

$$V_{BM}(r) = 4819.2 \exp(-4.566r) \quad (9)$$

(расстояние в \AA , энергия взаимодействия в эВ).

На рис. 2 изображен восстановленный потенциал взаимодействия $V_S(r)$ (кривая 1) как функция расстояния и для сравнения приведены зависимости потенциалов $V_{ZBL}(r)$ (кривая 2) и $V_{BM}(r)$ (кривая 3) от r .

Видно, что восстановленный потенциал $V_S(r)$ более дальнодействующий, т. е. имеет более плавный характер убывания с расстоянием r , чем $V_{ZBL}(r)$ и $V_{BM}(r)$.

Как уже отмечалось [8, 9], более дальнодействующие потенциалы значительно лучше моделируют рассеяние в области низких энергий ($E_0 < 200$ эВ), поэтому следует ожидать, что проведение молекулярно-динамических расчетов с такого типа потенциалами должно значительно улучшить согласие расчетов с экспериментом.

Список литературы

- [1] Барановский В.И., Братцев В.Ф., Панин А.И., Третьяк В.М., Методы расчета электронной структуры атомов и молекул. Л.: ЛГУ. 1976. 204 с.
- [2] Фудзинага Ф. Теория молекулярных орбиталей. М.: Мир. 1983. 463 с.
- [3] Слэтер Дж. Методы самосогласованного поля для молекул и твердых тел.
- [4] Информационные материалы Специализированного Фонда квантохимических Программ СО АН СССР. СФКП-87. Новосибирск; 1987.
- [5] Pizzier R., Kari R., Ciszmadia L. Handbook ofgaussian basis sets. Physical Sciences data. V. 24. Amsterdam, Elsevier, 1985. P. 675.
- [6] Ziegler J.F., Birsack J.P., Littmark V. The stopping and range of ions in solids. N.Y. Pergamon Press, 1985. P. 321.
- [7] Anderson H.H., Sigmond P. // Danish atomie Energy Commission Rizo Report. N 109. 1965.
- [8] Evstifeev V.V., Ivanov LV. // Surface Science. 1989. V. 217. L 373-L376.

[9] Е в с т и ф е е в В.В., И в а н о в И.В. // Поверхность.
Физика, химия, механика. 1991. В. 5. С. 26-31.

Научно-исследовательский
Институт прикладной физики
Ташкентского государственного
университета им. В.И. Ленина

Поступило в Редакцию
10 декабря 1991 г.
В окончательной редакции
23 июня 1992 г.